

مقایسه عملکرد اکتوول و PBXN-110 در یک سرجنگی خرج گود

رضا کسایی^۱، احمد ملایی^{۲*}، وحید افشاری^۳، علی خیرآبادی^۴

۱-۴- کارشناس-۲- دکترا-۳- کارشناس ارشد دانشگاه امام حسین (ع)

(تاریخ وصول: ۹۶/۸/۱۳، تاریخ پذیرش: ۹۶/۱۱/۲۱)

چکیده

تشکیل جت حاصل از فروپاشی لاینر در سرجنگی‌های خرج گود تا حد زیادی به مشخصات ماده منفجره شارژ شده در آن بستگی دارد. هدف اصلی در این تحقیق، مقایسه اثرات به کارگیری اکتوول و PBXN-110 در عملکرد نوعی سرجنگی خرج گودی خاص بوده است. این مواد در یک پوسته آلومینیمی خرج گود با لاینر مسی ۳۵ درجه و ظرفیت ۵۱۰ سانتی‌متر مکعب شارژ شدند. نتایج حاصل از شبیه‌سازی با نرم‌افزار LS-Dyna نشان داد که مؤثرترین فاصله توقف این سرجنگی تحقیقاتی، ۵۰ cm است. بر اساس این شبیه‌سازی، خرج اکتوول نفوذ بیشتری نسبت به ۱۱۰-PBXN-110/یجاد می‌کند. همچنین نتایج آزمون‌های تجربی هم نشان داد که عمق نفوذ سرجنگی‌های حاوی اکتوول و PBXN-110 به ترتیب ۴۴۴ و ۳۲۴ میلی‌متر است. سرعت انفجار و چگالی پایین‌تر خرج ۱۱۰-PBXN-110 نسبت به اکتوول، موجب عملکرد ضعیفتر آن در سرجنگی نفوذ کننده می‌شود.

واژه‌های کلیدی: خرج گود، نفوذ، اکتوول، PBXN-110، شبیه‌سازی.

Performance Comparison of Octol and PBXN-110 in a Shaped Charge Warhead

R. Kasaie, A. Mollaie^{*}, V. Afshari, A. Kheyrabadi

Imam Hossein University

(Received: 11/4/2017, Accepted: 2/10/2018)

Abstract

The jet formation caused by the collapse of a liner mainly depend on the characteristics of explosive loaded in the shaped charge warhead. The aim of this study was to compare the influence of Octol and PBXN-110 fillers on the performance of a specific shaped charge warhead is made. These materials are loaded into the aluminum-cased shaped charge having a 35° copper liner and 510 cm³ of capacity. Obtained results by numerical simulation (LS-Dyna) indicated that the most effective stand-off is 50 cm. Based on simulation data, octol has a higher penetration compared to PBXN-110 for the same stand-off. Results from the experimental tests also showed that the warheads loaded with octol and PBXN-110 have penetration about 444 mm and 324 mm respectively. PBXN-110 exhibited a weak penetration effect due to its lower density and detonation velocity compared to Octol.

Keywords: Shaped Charge, Penetration, Octol, PBXN-110, Simulation.

جدول ۱- مشخصات اکتول و PBXN-110

PBXN-110	اکتول (نوع ۱)	عنوان خرج
ریخته‌گری- پخت	- ذوب- ریخته‌گری	روش تهیه
٪/٪ HMX [۱۵] ٪/٪ HTPB	٪/٪ HMX ٪/٪ TNT	فرمولاسیون
[۱۷] ۱/۶۲-۱/۷۰	[۱۶] ۱/۸۱	چگالی (g/cm ³)
[۱۸] ۸۳۳۰.	[۱۶] ۸۶۴۳	سرعت انفجار (m/s)
[۱۷] ۲۰ <	-	تنش (psi)
[۱۷] ۹ <	-	کرنش (٪)
[۱۷] ۲۰ <	-	سختی (Shore A)
[۱۷] ۰/۴ >	[۱۹] ۰/۴ >	پایداری تحت خلا (ml/g.48h) (@ 100°)
۲۵۴	[۱۹] ۱۰۰ (خوداشتعالی)	پایداری حرارتی (°C)
۱۰ <	[۲۰] ۹/۲۳	حساسیت به ضربه (N.m)
[۲۲] ۲۹/۲	[۲۱] ۳۲/۲	فشار انفجار (GPa)

۲- بخش تجربی

۲- مواد اولیه و تجهیزات

خرج اکتول صنعتی با چگالی ۱/۸ g/cm³ ۱/۸ شارژ شد. برای تهیه نمونه PBXN-110، رزین HTPB با متوسط عددی جرم مولکولی (M_n) ۵۲۵۰ g/mol و دمای انتقال شیشه‌ای ۷۶/۸ °C استفاده شد. ماده منفجره HMX در دو فرم درشت (کلاس ۳ با متوسط اندازه ذرات ۴۰۰ میکرون) و ریز (کلاس ۵ با متوسط اندازه ذرات ۴۵ میکرون) با نسبت ۳ به ۱ به کارگیری شد. نرم‌کننده ایزودسیل پلارگونات (IDP) دارای گرد صنعتی بوده و سایر مواد اولیه از جمله عامل پخت ایزوفورون دی‌ایزوپیتانات (IPDI)، کاتالیزور دی‌بوتیل‌تین دی‌لورات (DBTDL) و آنتی‌اکسیدان ۲،۲ متمیلن بیس (۴-متیل-۶-ترشیو بوتیل فنول) از تولیدات شرکت مِرک ۳ آلمان تأمین شد.

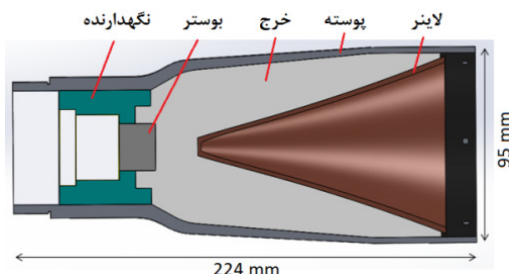
از یک میکسر دو پروانه‌ای با چرخش سیاره‌ای، دارای حجم مفید ۲ لیتر با ظرف دوجداره و امکان ایجاد خلاً جهت اختلاط اجزای PBXN-110 استفاده شد. مواد اولیه با ترازوی دیجیتال مدل GF-600 شرکت AND ژاپن با دقت ۰/۰۰۱ g و حداکثر کاربری ۶۱۰ تووزین شدند. مخلوط پس از ریخته‌گری در پوسته خرج گود در آون ساخت شرکت Memmert آلمان پخت شد. چگالی نمونه‌ها به روش غوطه‌وری و با بهره‌گیری از ترازوی AG285 مدل Mettler Toledo ساخت سوئیس اندازه‌گیری شد. در آزمون‌های تجربی برای آغازش انفجار خرج گود از چاشنی الکتروکی آنی M8 استفاده شد. هم‌چنین قرص پرس پس شده پتن به وزن ۲۰ گرم با گرد صنعتی به عنوان خرج بوستر مورد استفاده قرار گرفت.

۱- مقدمه

در سرجنگی‌های خرج گود، با انفجار جهت‌دار و کنترل شده ماده منفجره در پشت یک لاینر فلزی قیفی شکل، جریانی از جِت فلزی با ارزشی جنبشی بالا تشکیل می‌شود که موجب انهدام هدف می‌گردد. از خرج گودها در سلاح‌های ضد زره استفاده می‌شود. عملکرد سرجنگی‌های خرج گود به پارامترهای مختلفی بستگی دارد که از مهم‌ترین آن‌ها می‌توان به چگالی، فشار و سرعت انفجار خرج، جنس و هندسه لاینر، نقطه آغازش و هم‌چنین فاصله توقف اشاره کرد [۱ و ۲]. در یک پرتاپه مشخص، با افزایش سرعت انفجار، فشار انفجار و چگالی خرج، ارزشی جنبشی لاینر نفوذ کننده افزایش یافته و درنتیجه با افزایش سرعت جت، نفوذ بیشتری اتفاق می‌افتد [۳ و ۴].

از طرفی یکی از رویکردهای مهم در حوزه سرجنگی، تولید مهامات غیر حساس^۱ (IM) با قابلیت‌های ایمنی و عملکردی مناسب است. ترکیب B و اکتول از رایج‌ترین مواد مورد استفاده در سرجنگی‌های خرج گود هستند. این ترکیبات از خانواده مواد منفجره پایه TNT محسوب می‌شوند. اگرچه اجزای این فرمولاسیون‌ها با هزینه‌های پایینی تأمین می‌شوند ولی خواص حرارتی، ایمنی و مکانیکی ضعیف آن‌ها به خاطر نقطه ذوب پایین TNT و وجود ترک‌ها و حباب‌هایی ناشی از انقباض فرمولاسیون پس از عملیات ریخته‌گری، موجب بروز خطراتی در زمان انبارداری، حمل و نقل و به کارگیری مهامات جنگی می‌شود [۵]. به همین خاطر در سال‌های اخیر طراحی و تولید مواد منفجره پلاستیکی پلاستیکی^۲ (PBX) رشد چشمگیری داشته و در اغلب مهامات جدید در حال جایگزینی با سایر خرج‌های متداول است. مواد منفجره پلاستیکی به دو روش پرسی و ریخته‌گری تهییه می‌شوند. درصد بایندر در PBX پرسی کمتر بوده و به همین دلیل این دسته از مواد منفجره دارای چگالی و سرعت انفجار بالاتری بوده و لذا پس از مواد منفجره پایه TNT، بیشترین کاربرد را در خرج گودها دارند. باین حال به دلیل محدودیت‌های خرج‌های پرسی از جمله فرایند پذیری سخت در تولید خرج، توزیع غیر یکنواخت چگالی [۶]، احتمال تغییر فرم لاینر خرج گود در حین پرس [۷] و عدم امکان شارژ در سرجنگی‌های بزرگ تمايل به سمت PBX قابل ریخته‌گری در حال گسترش است [۸ و ۹]. از جمله خرج‌های PBX قابل ریخته‌گری که در سرجنگی‌های نفوذ کننده به کارگیری شدند می‌توان به PBXN-110 در سرجنگی ازدر MK-146 [۱۰]، PBXW-108 [۱۱] و PBXW-114 [۱۲] در سرجنگی راکت دوش پرتاپ مدل SMAW HEAA [۱۳] و [۱۴] اشاره کرد.

در تحقیق حاضر از PBXN-110 به عنوان جایگزین اکتول در یک نوع سرجنگی خرج گود خاص استفاده و اثرات به کارگیری آن مورد ارزیابی قرار گرفت. مشخصات این خرج با اکتول در جدول (۱) مقایسه شده است.



شکل ۱- طرح خرج گود مورد استفاده در آزمون‌های مقایسه‌ای.

پس از قرار گرفتن لاینر قیفی شکل در پوسته، PBXN-110 در پشت آن شارژ شده و بعد از بستن درپوش پلی اتیلنی، پخت صورت گرفت. این درپوش بهمنظور پیشگیری از تغییر حجم PBX در حین فرایند پخت بسته می‌شود. متوسط وزن اکتول و 110-PBXN شارژ شده به ترتیب ۹۳۰ و ۸۶۰ گرم بوده است. در ادامه و پس از پخت یک هفتاهی در دمای 65°C ، درپوش پلی اتیلنی باز شده و به جای آن PBX نگهدارنده بوستر قرار گرفت.



شکل ۲ - شمایی از چیدمان آزمون نفوذ.

در این آزمون‌ها میزان نفوذ در پارامتر عمق حفره ایجاد شده در بلوک‌های فولادی موردن بررسی قرار گرفت. برای اندازه‌گیری عمق نفوذ، از سیم مفتولی با ضخامت ۱ mm استفاده شد. طولی از سیم که وارد حفره می‌شد، نشان‌دهنده میزان نفوذ نمونه مربوطه در هدف است.

۲-۲- فرمولاسیون PBXN-110 و روش تهیه آن

فرمولوگیزیون و ترکیب درصد وزنی اجزای PBXN-110 در جدول (۲) نشان داده شد. مواد اولیه با دقت 0.2% توزیع شدند. پیش از شروع فرایند اختلاط، رزین HTPB، نرم کننده IDP و HMX به مدت ۴ روز در آون 60°C درجه قرار گرفتند تا رطوبت احتمالی آنها حذف شود. برای شروع کار، ابتدا اجزای بایندر شامل HTPB، لیستین و نرم کننده در یک بشر 250 cc به مدت ۱۵ دقیقه با همزن مغناطیسی در دمای 70°C به هم زده شد. سپس محلول بایندر به ظرف پیش گرم شده همزن منتقل و به آن آنتی اکسیدان $2\text{,}2'\text{-متیلن بیس}$ ($\text{M}\text{ethyl-}\text{6}$ -ترشیو بوتیل فنول) اضافه شد. محتویات همزن به مدت ۱۰ دقیقه در فشار محیط و دمای 65°C با دور 40 Hz و سپس ۵ دقیقه تحت خلا O_2 به هم زده شد. در ادامه HMX کلاس ۲ ($45\text{ }\mu\text{m}\sim$) به ظرف همزن اضافه شد. پس از ۱۰ دقیقه اختلاط، HMX کلاس ۳ ($400\text{ }\mu\text{m}$) طی دو مرحله مجزا (هر مرحله نصف وزن) اضافه و در هر مرحله محتویات همزن به مدت ۱۰ دقیقه در فشار محیط و دمای 65°C با دور 40 Hz و سپس ۵ دقیقه تحت خلا O_2 /bar مخلوط شد. سپس ایزوفورون دی ایزوپیسانات (IPDI) به ظرف همزن منتقل و پس از ۱۵ دقیقه اختلاط، کاتالیزور دی بوتیل تین دی لورات (DBTDL) به کمک سرنگ به آن اضافه شد. در پایان خمیر PBX، تحت خلا O_2 و درون قالب پیش گرم شده ریخته گری و به مدت ۷ روز در آون 60°C پخت شد.

جدول ۲ - ترکیب درصد وزنی اجزای PBXN-110

نام جزء	درصد وزنی
۳ HMX کلاس	۶۶
۲ HMX کلاس	۲۲
HTPB	۵/۳۸
ایزو دسیل پلار گونات	۵/۳۸
لیستین	۰/۷
ایزو فورون دی ایزو سیانات	۰/۵۲
دی بو تیل تین دی لورات	۰/۰۲

۳-۲- معرفی خرج گود و نحوه اجرای آزمون

خرج گود استفاده شده در این تحقیق شامل چهار قسمت اصلی پوسته، لاینر مسی، بوستر و خرج PBX است. پوسته از جنس آلیاژ آلومینیم T6 6061 است که مطابق شکل (۱) در قطر و ضخامت متغیر است. حداقل و حداکثر ضخامت این پوسته بین ۳ تا ۶ میلی‌متر است. لاینر مسی دارای ضخامت mm ۱/۵-۳ وزاویه داخلی آن ۳۵° است.

حل کننده نرم افزار (d-R700) انجام شد. در شبیه سازی انجام شده کلیه پارامترها از جمله ابعاد و جنس پوسته و لاینر خروج گود، هدف فولادی و فاصله توقف ثابت در نظر گرفته شد و تنها نوع خروج انفجاری به کار رفته متغیر بوده است.

۱-۴-۲- مدل ماده

در تحلیل پدیده انفجار، مدل ماده و داده های ورودی آن تقریباً مهم ترین عامل در رسیدن به نتایج مطلوب است. معادله ساختاری مدل ماده در واقع رابطه ای است که تنশ σ را به کرنش ϵ ، نرخ کرنش $\dot{\epsilon}$ ، انرژی داخلی e و تخریب D مرتبط می سازد و شکل کلی آن به صورت معادله (۱) می باشد. مدل های ماده برای فلز، خروج و هوا به ترتیب مدل جانسون - کوک^۱، شدید الانفجار و خلأ در نظر گرفته شد.

$$\sigma = f(\epsilon, \dot{\epsilon}, e, D) \quad (1)$$

رابطه ارائه شده توسط جانسون و کوک برای بیان اثرات کار پلاستیک، نرخ کرنش پلاستیک و دما بر روی تنش تسلیم مطابق رابطه (۲) است.^[۳]

$$\sigma_y = (A + B\epsilon^n)(1 + C \ln \dot{\epsilon}^*) (1 - T_H^m) \quad (2)$$

که در آن، σ تنش جریانی دینامیکی، ϵ کرنش پلاستیک مؤثر، A استحکام تسلیم، B ثابت سختی، n توان سختی، C ثابت نرخ کرنش و m ثابت توان گرمائی است.^[۴] پارامتر بی بعد شده نرخ کرنش پلاستیک نرمالیزه شده است که از تقسیم نرخ کرنش واقعی بر نرخ کرنش مرجع به دست می آید. T_H دمای همسان یا پارامتر بی بعد شده دما است که از رابطه (۳) محاسبه می شود.^{[۳] و [۲۵]} در این رابطه T_{Room} دمای اتاق و T_{melt} دمای ذوب ماده است.

$$T_H = \frac{T - T_{Room}}{T_{melt} - T_{Room}} \quad (3)$$

در این مدل اثرات نرخ کرنش پلاستیک نسبت به زمان بر روی تنش تسلیم در نظر گرفته شده است. ضرایب مدل ماده لاینر مسی و هدف فولادی در جدول (۳) نشان شده است.

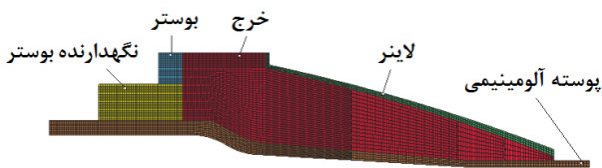
جدول ۳- ضرایب مدل ماده مس (لاینر)، [۲۶] و [۲۷] و فولاد (هدف)، [۳] و [۲۸].

فولاد	OHFC	ماده
۷/۸۹	۸/۹۶	(g/cm ³) چگالی
۷۹۲	۸۶	A (MPa)
۵۱۰	۲۹۱	B (MPa)
۰/۰۱۴	۰/۰۲۵	C
۰/۲۶	۰/۳۱	n
۱/۰۳	۱/۰۹	m
۱۸۰۰	۱۳۵۶	T _{Melt} (K)

برای تعریف خواص پوسته آلومینیومی از مدل Elastic Plastic Hydro معادله حالت گرونازیزن استفاده شد. ضرایب مربوطه در جدول (۴) ارائه شده است:

۴-۴- شبیه سازی نفوذ

در پژوهش حاضر جهت شبیه سازی فرایند شکل گیری و نفوذ جت خروجی خروج گود در یک هدف فولادی، از نرم افزار LS-DYNA نسخه ۲۸ استفاده شده است. در این شبیه سازی، انتخاب صحیح مدل ماده و معادله حالت، همچنین اعمال صحیح شرایط فیزیکی مسئله از قبیل شرایط مرزی و استفاده از المان های متناسب با نوع مسئله دارای اهمیت است. با توجه به تقارن سرجنگی خروج گود حول محور عمودی، برای مدل سازی تشکیل پرتا به و پس از آن برخورد با هدف از محیط ۲ بعدی و از مدل تقارن محوری استفاده شد. با توجه به مقایسه بودن شکل خروج گود حول محور عمودی و به منظور کاهش حجم محاسبات و زمان اجرای برنامه، برای مدل سازی پرتا به المان های پوسته با تقارن محوری نسبت به محور Y و محیط ۲ بعدی استفاده شده است. اجسام همانند شکل (۳) مدل شده اند و برای مشتملی از مشاهی مربعی با اندازه حدود ۱ میلی متر استفاده شده است. تعداد نودها برابر ۱۹۴۱۹۸ و تعداد المان ها برابر ۱۹۵۴۶۸ است.



شکل ۳- مدل تقارن محوری المان بندی شده برای شبیه سازی خروج گود.

با توجه به این که خروج پتن به عنوان بوستر عمل می کند، تنها شرط اولیه مسئله نقطه شروع انفجار است که در وسط بوستر و مماس با خروج اصلی قرار دارد. از آنجایی که انفجار خروج و تشکیل جت با تغییر فرم و اندازه بسیار زیادی همراه است، بنابراین نمی توان از روش المان محدود لاغرانژی برای حل مسئله استفاده کرد.^[۲۳] از طرفی روش اویلری نیز به دلیل عدم توانایی در شناسایی دقیق سطوح تماس اجسام، کارایی لازم را ندارد. برای عمر از این نواقص دیدگاه جدیدی در نرم افزار غیر خطی LS-DYNA به نام روش حل ALE معرفی و استفاده می شود. در این دیدگاه گره ها در شبکه محاسباتی گاهی ممکن است تحت یکتابع لاغرانژی به صورت پیوسته حرکت کنند و یا مانند روش اویلری سر جای خود ثابت بمانند و یا در یک مسیر اختیاری حرکت کنند. به خاطر این آزادی عمل در حرکت، تغییر شکل مش در روش ALE بیشتر از اویلری تنها و همچنین تجزیه و تحلیل در این روش نیز بیشتر از اویلری تنها می باشد. روش مورد استفاده در این تحلیل ALE Multi Material است.^[۲۴]

در این روش مواد می توانند داخل شبکه ثابت و یا متحرک جریان پیدا کنند، به این معنی که دو یا چند ماده می توانند در یک المان قرار بگیرند. تقابل بین جریان ماده و سطوح جامد در این روش با استفاده از یک الگوریتم خاص به خوبی مدل می شود. در اینجا تحلیل و آنالیز مسئله پس از تعیین مشخصات، قیود و شرایط مرزی با استفاده از

جدول ۶- ضرایب معادله‌ی حالت اجزای فلزی سرجنگی و هدف.

C	S ₁	S ₂	S ₃	γ_0	A	E ₀	جنس
۰/۵۳۲۸	۱/۳۳۸	۰	۰	۲	۰	۰	آلومینیوم
۰/۳۹۴۰	۱/۴۹۰	۰	۰	۱/۹۶	۰	۰	مس
۰/۴۵۶۹	۱/۴۹۰	۰	۰	۲/۱۷	۰	۰	فولاد

معادله حالت^۱ JWL معمولاً برای تشریح رفتار محصولات انفجار مواد منفجره سرعت بالا مورد استفاده قرار می‌گیرد. این معادله به صورت رابطه (۷) تعریف می‌شود که در آن، ضرایب A, B, R₁ و R₂ ثابت‌های خروج انفجاری هستند، V حجم نسبی یا حجم ماده منفجره عمل نکرده نسبت به حجم گازهای تولیدی (معادل ρ^1) و E انرژی داخلی وابسته است. ضرایب معادله حالت مواد منفجره مورد استفاده، در کتابخانه نرم‌افزارهای شبیه‌سازی موجود بوده و مقادیر آن در جدول (۷) ارائه شده است.

$$P = A \left(1 - \frac{\omega}{R_1 V'} \right) e^{-R_1 V'} + B \left(1 - \frac{\omega}{R_2 V'} \right) e^{-R_2 V'} + \frac{\omega}{V'} E \quad (7)$$

جدول ۷- ضرایب معادله حالت JWL مواد منفجره برگرفته از مراجع و نرم‌افزار CHEETAH.

E (Mbar)	ω	R ₂	R ₁	B (Mbar)	A (Mbar)	ماده منفجره
۰/۰۹۶	۰/۳۸	۱/۲	۴/۵	۰/۱۳۴۸	۷/۴۸۶	اکتول [۱۱]
۰/۰۹۶	۰/۳۵	۱/۰۷	۴/۶۷	۰/۱۰۲۵	۹/۰۰۳	اکتول [Cheetah]
۰/۰۹۲	۰/۳۲	۱/۰۶	۴/۷۹	۰/۰۸۶۱	۷/۱۵۷	PBXN-110 [Cheetah]
۰/۰۹۲	۰/۴	۱	۳/۸۶	۰/۰۰۱۱	۴/۶۹۰	PBXN-110 [۲۹]
۰/۱۰۱	۰/۲۵	۱/۲	۴/۴	۰/۱۶۹۳	۶/۱۷۰	پتن [۱۱]

۳- نتایج و بحث

۱-۳- نتایج شبیه‌سازی نفوذ

فرایند شبیه‌سازی برای پیش‌بینی میزان نفوذ خرج گود حاوی فرمولاسیون‌های مختلف ماده منفجره انجام شده است. در این شبیه‌سازی با توجه به تأثیرگذاری بالای فاصله توقف (Stand-off) و نوع خرج به کار رفته در میزان نفوذ این نوع از سرجنگی‌ها و با توجه به محدودیت‌های ابعادی جهت ساخت قطعه مورد نظر، از دو نوع خرج (اکتول و PBXN-110) و ۶ فاصله توقف متفاوت (۰، ۳۰، ۴۰، ۵۰، ۶۰، ۷۰ و ۸۰ سانتی‌متر) جهت تحلیل میزان نفوذ استفاده شده است. در مدل‌های اولیه برای شبیه‌سازی از خرج اکتول استفاده شده و فاصله توقف بهینه برای سرجنگی خرج گود به دست آمد. سپس جهت بررسی تأثیر نوع خرج بر میزان نفوذ، از خرج جایگزین PBXN-110 استفاده شد. مقادیر نفوذ حاصل از انفجار خرج اکتول در فواصل مختلف و

جدول ۴- ضرایب مدل ماده Elastic Plastic Hydro پوسته آلومینیوم.

SIGY	G	چگالی (g/cm ³)	ماده
۰/۰۰۲۶۵	۰/۲۷۶	۲/۷۸۵	6061-T6 Al

مدل ماده استفاده شده برای تعریف خرجهای اکتول، PBXN-110 و بوستر پتن از نوع شدیدالانفجار است. پارامتر سوزش (F) در رابطه (۴) آزادسازی انرژی شبیه‌سازی را برای شبیه‌سازی انفجار کترل می‌نماید. در این رابطه، P_{eos} فشار معادله حالت، V حجم نسبی و E چگالی انرژی داخلی در واحد حجم اولیه است.

$$P = FP_{eos}(V, E) \quad (4)$$

ضرایب مدل ماده شدیدالانفجار برای خرجهای مدل با استفاده از کد CHEETAH و مراجع موجود [۱۱] استخراج شده است. این ضرایب در جدول (۵) نشان داده شده‌اند:

جدول ۵- ثابت‌های مدل ماده شدیدالانفجار خرجهای مدل و بوستر.

چگالی (g/cm ³)	P_{cj} (Mbar)	D_{cj} (cm/μs)	ماده منفجره
۱/۸۱	۰/۳۴۲	۰/۸۴۸	اکتول
۱/۶۷	۰/۲۷۵	۰/۸۳۳	PBXN-110
۱/۷۷	۰/۳۳۵	۰/۸۳	بوستر (پتن)

۲-۴-۲- معادلات حالت

معادله حالت رابطه‌ای است که فشار را با دانسیته ماده و انرژی داخلی JWL مشخصه آن مرتبط می‌سازد. معادله حالت گروناپن در فلزات و مخصوص فرمولاسیون‌های انفجاری از معادلات حالت رایج محاسبه می‌شوند. معادله حالت گروناپن^۱ رابطه بین فشار، حجم و انرژی داخلی فلز را در حالت خمیری و در دو حالت تراکمی و انبساطی بیان می‌کند [۲۳]. در حالتی که ماده همانند لاینر مسی یا هدف فولادی تحت فشار باشد این معادله مطابق رابطه (۵) بیان می‌شود و در حالت انبساطی، نظیر پوسته آلومینیومی خرج گود رابطه (۶) برای آن ارائه شده است.

$$P = \frac{\rho_0 C^2 \mu \left[1 + \left(1 - \frac{\gamma_0}{2} \mu - \frac{a}{2} \mu^2 \right) \right]}{\left[1 - (S_1 - 1) - S_2 \frac{\mu^2}{\mu - 1} - S_3 \frac{\mu^3}{(\mu + 1)^2} \right]} + (\gamma_0 + a\mu) E_{int} \quad (5)$$

$$P = \rho_0 C^2 \mu + (\gamma_0 + a\mu) E_{int} \quad (6)$$

در این روابط، P فشار، E_{int} انرژی داخلی، C فاصله از مبدأ منحنی سرعت شوک بر حسب سرعت ذرات، ρ_0 چگالی ماده منفجره، μ حجم نسبی، γ_0 ضریب گامای گروناپن، a ضریب تصحیح حجم مرتبه اول و S ضریب شیب منحنی سرعت شوک بر حسب سرعت ذرات می‌باشد. ضرایب معادله حالت اجزای فلزی در شبیه‌سازی انجام شده در جدول (۶) آمده است.

جدول ۸- نتایج شبیه‌سازی نفوذ با ضرایب مختلف معادله حالت.

حداکثر قطر نفوذ (mm)	عمق نفوذ (mm)	مرجع ضرایب	خرج
۳۰/۱	۵۴۸	[۱۱]	اکتول
۲۷/۴	۴۷۸	CHEETAH	
۲۲/۹	۳۸۵	[۲۹]	PBXN-110
۲۲/۰	۳۷۵	CHEETAH	

مطالعه کانتور فشار موج انفجار در لحظه برخورد به لاینر نشان می‌دهد که فشار در لحظه $t = 1 \mu\text{sec}$ حدوداً برابر با 2750 MPa است که این مقدار در مقایسه با تنش تسلیم مس خالص (270 MPa)^[۳] بالغ بر $10 \times$ بیشتر است. بنابراین فشار موج انفجار باعث می‌شود که لاینر مسی به راحتی سیلان کرده و تغییر شکل دهد.

۲-۳- نتایج آزمون‌های تجربی

برای ارزیابی بیشتر نتایج شبیه‌سازی نمونه‌های خرج گود حاوی خرج‌های مختلف اکتول (با چگالی $1/81 \text{ g/cm}^3$) و PBXN-110 (با چگالی $1/167 \text{ g/cm}^3$) در شرایط استاتیکی و در فاصله توقف 50 cm با یکدیگر مقایسه شدند. از هر مدل دو نمونه آزمون شده و میانگین نتایج برای مقایسه دو خرج محاسبه شده است. بر اساس اطلاعات جدول (۹) که نتایج دو سری آزمون تجربی را گزارش می‌کند، میزان نفوذ حاصل از انفجار خرج گود حاوی اکتول بیشتر از نمونه PBXN-110 است.

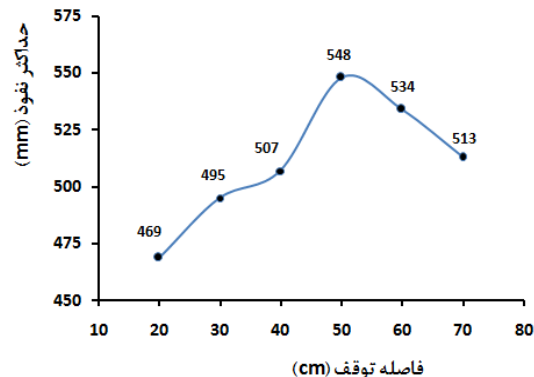
جدول ۹- پارامترهای نفوذ در آزمون‌های تجربی.

PBXN-110	اکتول	ماده منفجره	عمق نفوذ (mm)
۳۳۷	۴۵۲	سری اول	
۳۱۱	۴۳۶	سری دوم	
۴۷	۶۶	سری اول	حداکثر قطر حفره (mm)
۴۵	۶۲	سری دوم	

تصاویر مربوط به بلوک فولادی هدف پس از انجام آزمون‌های تجربی در شکل (۶) نشان داده شد. در این تصاویر ۲ حفره مربوط به نفوذ جت حاصل از انفجار خرج گود حاوی اکتول و PBXN-110 قابل مشاهده است. همان‌طور که از نتایج شبیه‌سازی قابل پیش‌بینی بود، اثر خرج اکتول بیشتر از نمونه PBXN-110 بوده است. میانگین عمق حفره حاصل از عملکرد این دو سرجنگی به ترتیب، $444 \pm 8 \text{ mm}$ و $324 \pm 13 \text{ mm}$ و حداکثر قطر حفره حاصل نیز به ترتیب $64 \pm 2 \text{ mm}$ و $46 \pm 1 \text{ mm}$ است.

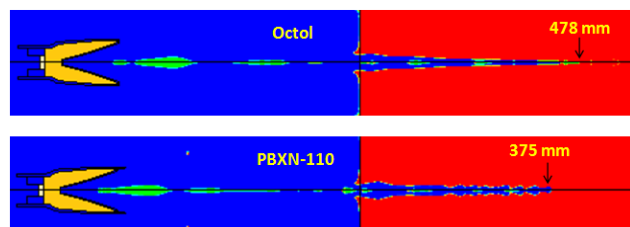
شکل (۷) عملکرد دو خرج اکتول و PBXN-110 در دو حالت شبیه‌سازی و آزمون تجربی در فاصله توقف 50 cm را با یکدیگر مقایسه می‌کند. نتایج شبیه‌سازی در این شکل، میانگینی از داده‌های جدول (۸) است. مطابق این شکل، PBXN-110 در هر دو حالت دارای عملکرد نفوذ کمتری نسبت به اکتول است. میزان کاهش نفوذ طی جایگزینی

با در نظر گرفتن ضرایب معادله حالت ارائه شده در مرجع [۱۱] در شکل (۴) آمده است. بر اساس نتایج به دست آمده مناسب‌ترین فاصله توقف برای این سرجنگی، 50 cm سانتی‌متر است.

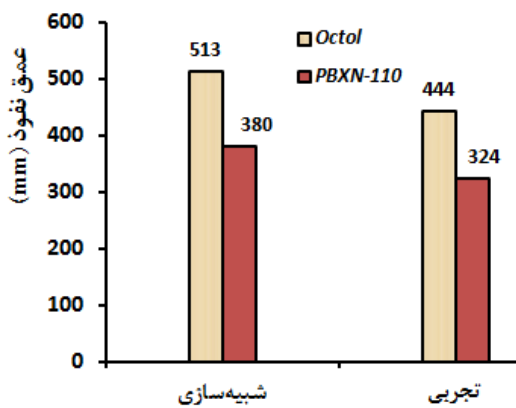


شکل ۴- رابطه عمق نفوذ با فاصله توقف برای خرج اکتول.

جت حاصل از انفجار خرج‌های اکتول و PBXN-110 با در نظر گرفتن ضرایب معادله حالت JWL استخراج شده از نرم‌افزار CHEETAH در شکل (۵) نشان داده شده است. داده‌های این نرم‌افزار به عنوان ورودی شبیه‌سازی در کنار ضرایب معادله حالت ارائه شده در منابع، جهت تکمیل و مقایسه دقیق‌تر نتایج مورد استفاده قرار گرفت. در این شبیه‌سازی، فاصله توقف برای هر دو نمونه 50 cm سانتی‌متر در نظر گرفته شد. همان‌طور که مشخص است، با انفجار خرج درون پوسته، لاینر مسی تحت فشار بسیار زیاد موج انفجار تغییر شکل داده و به تدریج کشیده شده و درنهایت شکل پرتابهای تیز (جت) را به خود می‌گیرد. جت حاصل به سمت هدف فولادی حرکت کرده و به سطح آن برخورد می‌کند و سپس در هدف نفوذ می‌کند. قطر سوراخ به تدریج با پیشروی جت کاهش می‌یابد. با جایگزینی خرج PBXN-110 به جای اکتول، حداکثر میزان نفوذ در حدود $21/5 \text{ درصد}$ کاهش می‌یابد.

شکل ۵- شبیه‌سازی نفوذ جت حاصل از انفجار خرج‌های اکتول و PBXN-110 از فاصله توقف 50 cm در هدف.

نتایج مشابهی در شبیه‌سازی با استفاده از ضرایب معادله حالت قبل از گزارش شده [۱۱ و ۲۹]، حاصل شد. عمق نفوذ جت و حداکثر قطر سوراخ ایجاد شده در انفجار خرج‌های بررسی شده از فاصله توقف 50 cm در جدول (۸) گزارش شده است.



شکل ۷- مقایسه نفوذ خروج گودهای بررسی شده در دو حالت شبهه‌سازی و آزمون تجربی.

۴- نتیجه‌گیری

نتایج این تحقیق نشان داد که تغییر فرمولاسیون ماده منفجره موجود در یک خروج گود مشخص، بر پارامترهای نفوذ از جمله عمق و قطر سوراخ نفوذ تأثیر زیادی دارد. خروج پلاستیکی و قابل ریخته‌گری PBXN-110 اگرچه بر اساس اطلاعات موجود، دارای خواص حرارتی، ایمنی و مکانیکی مناسب‌تری نسبت به اکتول است، ولی به دلیل داشتن چگالی و سرعت انفجار پایین‌تر، در سرجنگی خروج گود از عملکرد و نفوذ پایین‌تری برخوردار است. با جایگزینی PBXN-110 به جای اکتول، کاهش در حدود ۲۷ درصدی در عمق نفوذ جت و حداقل قطر حفره در هدف فولادی مشاهده شد. اولویت‌بندی دو پارامتر مهم ایمنی و قدرت نفوذ در سرجنگی‌های مشابه توسط کاربر می‌تواند به انتخاب یکی از این دو خروج منجر شود.

مراجع

- [1] Ou, J. H.; Ou, J. B.; Jhu, Y. J. "The Design and Analysis for Shaped Charge Liner Using Taguchi Method"; Int. J. Mech. 2014, 8, 53-61.
- [2] Jaramaz, S.; Micković, D.; Elek, P.; Jaramaz, D.; Micković, D. "A Model for Shaped Charge Warhead Design"; J. Mech. Eng. 2012, 58, 6, 403-410.
- [3] Elshenawy, T. A. E. "Criteria of Design Improvement of Shaped Charges Used as Well Perforators"; A Thesis Submitted to The Univ. of Manchester for the Degree of Doctor of Philosophy, School of Mechanical, Aerospace and Civil Eng. 2012.
- [4] Blache, A.; Weimann, K. "Generation of Different Detonation Wave Contours"; 16th Int. Symposium on Ballistics, San Francisco, CA, USA, 1996.
- [5] Agrawal, J. P. "Recent Trends in High Energy Materials"; Prog. Energy Combust. Sci. 1998, 24, 1-30.
- [6] Kumar, A. S.; Samudre, S. S.; Waghmare, N. G.; Gharia, J. S. "A Facile Pressing Technique for Preparation of Small Calibre Dual Role Explosive Charge"; Propell. Explos. Pyrotech. 1996, 21, 106-110.

PBXN-110 نسبت به اکتول در شرایط شبیه‌سازی و آزمون تجربی به ترتیب ۲۱/۵ و ۲۷ درصد است. در مقایسه انجام شده به غیر از نوع خروج، کلیه اجزاء، قطعات و روش اجرای آزمون ثابت در نظر گرفته شد. بنابراین کاهش نفوذ حاصل از انفجار PBXN-110 را می‌توان عمدتاً به سرعت انفجار و چگالی پایین‌تر آن در مقایسه با اکتول و هم‌چنین مسئله شارژ که در خروج‌های قابل ریخته‌گری اهمیت دارد، نسبت داد. در خروج گودها با کاهش سرعت انفجار و کاهش چگالی، میزان نفوذ کاهش می‌یابد [۳]. با توجه به حجم یکسان دو نمونه و چگالی پایین‌تر PBXN-110، طبیعی است که وزن کمتری از آن در سرجنگی شارژ شود. کاهش وزن در حدود ۷/۵ درصدی آن در مقایسه با نمونه اکتول یکی از دلایل مهم کاهش نفوذ است.

اختلاف نفوذ در نتایج شبیه‌سازی و تجربی نمونه‌های PBXN-110 و اکتول به ترتیب ۱۴/۷ و ۱۳/۴ درصد است. این اختلاف را می‌توان به خطای مدل‌سازی یا کیفیت ساخت قطعات مربوط دانست. علاوه براین، شارژ نمونه بهویژه در خروج پلاستیکی PBXN-110 به دلیل بالا بودن گرانوی پایان اختلاط^۱ مواد اولیه (P > ۱۰۰۰۰۰ cP) [۳۰]، که می‌تواند به شدت بر نتایج نفوذ تأثیر داشته باشد، می‌تواند یکی از عوامل اختلاف نتایج تجربی با شبیه‌سازی باشد.



شکل ۶- اثر نفوذ خروج گودهای مختلف در هدف فولادی.

- [19] TM 9-1300-214: "Military Explosives", 1984.
- [20] MIL-STD-1751A, "Safety and Performance Tests for the Qualification of Explosives (High Explosives, Propellants and Pyrotechnics)", 20 August 1982.
- [21] Agrawal, J. P. "High Energy Materials: Propellants, Explosives and Pyrotechnics"; WILEY-VCH Verlag GmbH & Co. KGaA, 2010.
- [22] Hollands, R.; Fung, V.; Burrows, K. S. "High Performance Polymer-Bonded Explosive Containing PolyNIMMO for Metal Accelerating Applications"; NDIA IMEMT Symposium, 2004.
- [۲۳] خدارحمی، حسین؛ خلیجی، حمید رضا؛ محسنی، رضا "تحلیل عددی و تجزیی شکل‌گیری و نفوذ پرباته‌های شکل‌یافته انفجاری"؛ مجله علمی-پژوهشی مکانیک و هوا فضا، جلد ۱، شماره ۲، صفحه ۹۵، آبان ۹۵.
- [24] Gelfand, B. E.; Medvedev, S. P.; Khomik, S. V.; Silnikov, M. V. "Comparative Study of Pressure-Temperature Effects from TNT and RDX-IPN-Al Explosions"; Military Aspects of Blast and Shock -MABS20, Oslo, 2008, 1-8.
- [25] Junqing, H.; Wei, Z.; Wenyue, W.; Kelei, H. "The 3D Numerical Simulation of the Shaped Charge Jet Penetration through the Steel Target"; The 2nd Int. Conf. on Computer Application and System Modeling, Paris, France, 2012, 236-239.
- [26] Jintao, L.; Hongnian, C.; Fuchi, W.; Qunbo, F. "Multiscale Numerical Simulation of the Shaped Charge Jet Generated from Tungsten-Copper Powder Liner"; J. Phys.: Conf. Series, 2013, 419, 012045.
- [۲۷] علوی‌نیا، علی؛ احمدی‌کیا، حسین؛ حجتی، اصغر "تحلیل عددی انفجار و تشکیل جت در خرج گود"؛ مجله علمی - پژوهشی مواد پرانرژی، سال دوم، شماره ۲، شماره پیاپی ۴، صفحه ۶۹، پاییز و زمستان ۱۳۸۶.
- [28] Kennedy, D. R. "Warheads: An Historical Perspective, in: J. Carleone (Ed.), Tactical Missile Warheads"; Progress in Astronautics and Aeronautics, Vol. 155, AIAA, Washington DC, 1993.
- [29] Chen, J. K.; Ching, H. K.; Allahdadi, F. A. "Shock-Induced Detonation of High Explosives by High Velocity Impact"; J. Mech. Mat. Struc. 2007, 2, 1701-1721.
- [30] Boggs, B.; Carrillo, A.; Guntrum, K.; Owens, J. "Improved Processability of Cast-Cure PBX's by Modification of Particle Shape"; NDIA Insensitive Munitions & Energetic Materials Technol. Symposium, 2007.
- [7] Elshenawy, T. "Density Effect of the Compacted Copper-Tungsten Shaped Charge Powder Liners on its Penetration Performance"; J. Powder Metall. Min. 2017, 6, 172-178.
- [۸] ملایی، احمد؛ رحیمی‌پور، محمدرضا؛ دهنوی، محمدعلی "اثر پودر آلومینیوم بر قابلیت نفوذ یک نمونه خرج گود خاص"؛ مجله علمی-پژوهشی مواد پرانرژی، سال دهم، شماره ۱، شماره پیاپی ۲۵، بهار ۱۳۹۴، صفحه ۳۱.
- [9] Samudre, S. S.; Nair, U. R.; Gore, G. M.; Sinha, R. K.; Sikder, A. K.; Asthana, S. N. "Studies on an Improved Plastic Bonded Explosive (PBX) for Shaped Charges"; Propell. Explos. Pyrotech. 2009, 34, 145-150.
- [10] Kentagens, H.; Zhang, J.; Heigh, D.; Schneebaum, Y.; Eliash, T.; Yarom, T. "Anti Structure Shoulder Launched System – Insensitive Munition Program"; Insensitive Munitions & Energetic Materials Technol. Symposium, Munich, Germany, 2010.
- [11] Carleone, J. "Tactical Missile Warheads"; AIAA Inc, 1993, 155, 81-158.
- [۱۲] بیگی مقدم، علیرضا "ساخت و به کارگیری یکی از انواع خرج‌های PBX به عنوان خرج اصلی در سرجنگی‌های نیمه‌نفوذی"؛ ششمین همایش سراسری و اولین همایش بین‌المللی مواد منفجره، پیشرانه‌ها و پیروتکنیک، دانشگاه صنعتی مالک اشتر، تیر ۱۳۹۰.
- [13] Johnson, N. C.; Gonzalez, C. W.; Reed, K. W.; Kowalczyk, L. A.; Myers, W. L.; Beam, V. L.; Fields, V. A. "IM Explosive for SMAW HEAA Warhead"; Indian Head Division, Naval Surface Warfare Center Indian Head, MD. NDIA Gun and Missile Systems Conf., 2009.
- [14] Gonzalez, C. W.; Johnson, N. C.; Reed, K. W.; Kowalczyk, L. A.; Myers, W. L.; Beam, V. L.; Fields, V. A. "Replacement of Octol with IM Explosive in SMAW HEAA Warhead"; Insensitive Munitions and Energetic Materials Technol. Symposium, Tucson, 2009.
- [15] Blumenthal, W. R.; Thompson, D. G.; Cady, C. D.; Gray, G. T.; Idar, D. J. "Compressive Properties of PBXN-110 and with HTPB-Based Binder as a Function of Temperature and Strain Rate"; Proc. 12th Int. Det. Symposium, San Diego, CA, 2002.
- [16] Meyer, R.; Kohler, J.; Homburg, A. "Explosives"; 6th Ed., Wiley-VCH Verlag GmbH & Co. KGaA, 2007.
- [17] MIL-E-82901(OS), Military Specification "Explosive, Plastic Bonded, Cast PBXN-110"; 4 September 1990.
- [18] Antic, G.; Džingalašević, V. "Characteristics of Cast PBX with Aluminium"; Sci. Technol. Rev. 2006, LVI (3-4), 52-58.